

## چکیده

انتخاب تعداد محدودی شتاب نگاشت جهت دستیابی به تخمین‌های قابل اتقا از پارامترهای تقاضای مهندسی یکی از چالش‌های موجود جهت تحلیل‌های تاریخچه زمانی غیرخطی به عنوان گام مهمی در چارچوب مهندسی زلزله عملکردی می‌باشد. گروه‌بندی سازه‌ها بر اساس مشخصات دینامیکی و انتخاب بهینه‌ی شتاب نگاشت‌های مورد نیاز از یک مجموعه مرجع مناسب برای هر کدام از این گروه‌ها، یکی از ایده‌های مطرح شده در سال‌های اخیر است که پتانسیل کاهش هزینه‌ی محاسباتی تحلیل را فراهم می‌آورد. با توجه به اینکه هدف این روش تخمین ظرفیت فروریزش سازه‌ها بر مبنای تحلیل دینامیکی فراینده (IDA) با استفاده از تعداد محدودی شتاب نگاشت با حفظ سطح قابلیت اطمینان پاسخ‌ها عنوان شده است، امکان تعمیم کاربرد آن در سایر سطوح عملکردی نیاز به بررسی بیشتر دارد. در مقاله‌ی حاضر، به امکان‌سنجی استفاده از روش انتخاب بهینه شتاب نگاشت‌ها در تخمین پاسخ دینامیکی قاب‌های خمشی فولادی با تنویر از مشخصات دینامیکی که لزوماً سطح عملکردی آستانه فروریزش را تجربه نخواهد کرد، پرداخته شده است. قاب‌های مورد مطالعه به لحاظ مقاومت و سختی در زمرة سازه‌های منظم در ارتفاع قرار می‌گیرند. نتایج این بررسی‌ها نشان داد که تعمیم محدوده‌ی استفاده از روش انتخاب بهینه شتاب نگاشت‌ها جهت تخمین پاسخ‌های دینامیکی در سطوح عملکردی متفاوت از آستانه‌ی فروریزش، صرفاً با تخفیف در دقت مورد انتظار امکان‌پذیر است. همچنین، نشان داده شد که زیرمجموعه‌های پیشنهاد شده در روش انتخاب مورد بررسی لزوماً دارای بهترین عملکرد نسبت به سایر زیرمجموعه‌ها نبوده‌اند. این مشاهده را می‌توان به عدم وجود قوی فروریزش در اغلب سازه‌های مورد بررسی نسبت داد.

**واژگان کلیدی:** تحلیل تاریخچه زمانی غیرخطی، انتخاب شتاب نگاشت‌ها، پارامترهای تقاضای مهندسی، قاب‌های خمشی فولادی.

## سنجهش کارایی روش انتخاب بهینه شتاب نگاشت‌ها مبتنی بر IDA در تخمین پاسخ دینامیکی قاب‌های خمشی فولادی

### میلاد مولوی

کارشناس ارشد مهندسی زلزله، پژوهشگاه بین‌المللی زلزله‌شناسی و مهندسی زلزله، عضو انجمن زلزله ایران

**محسن غفوری‌اشتیانی (نویسنده مسئول)**

استاد پژوهشکده سازه، پژوهشگاه بین‌المللی زلزله‌شناسی و مهندسی زلزله، رئیس انجمن مهندسی زلزله ایران

ashtiany@iiees.ac.ir

### سالار آرین مقدم

دانشجوی دکتری مهندسی زلزله، پژوهشگاه بین‌المللی زلزله‌شناسی و مهندسی زلزله، عضو انجمن زلزله ایران

### ۱- مقدمه

جهت انطباق میانگین طیف پاسخ آنها بر طیف خطر یکنواخت (UHS) به عنوان طیف هدف می‌باشد [۱-۲]. انتخاب شتاب نگاشت‌ها بر اساس سناریوی غالب، اگرچه با توجه به ساده بودن آن مرسوم است، اما شواهد کافی برای تأیید این ادعا که انتخاب شتاب نگاشت‌ها مبتنی بر آن بهترین روش ممکن است، وجود ندارد [۳]. همچنین منطبق کردن طیف میانگین پاسخ شتاب نگاشت‌ها بر طیف خطر یکنواخت در بیشتر اوقات محافظه کارانه است [۴ و ۲]. مورد اخیر را می‌توان به این امر

انتخاب تعداد محدودی شتاب نگاشت جهت دستیابی به تخمین‌های قابل اتقا از پارامترهای تقاضای مهندسی یکی از چالش‌های موجود جهت تحلیل‌های تاریخچه زمانی غیرخطی به عنوان گام مهمی در چارچوب مهندسی زلزله عملکردی می‌باشد. در ضوابط استانداردهای طرح لرزه‌ای موجود عموماً شرط نخست برای انتخاب شتاب نگاشت‌های ورودی تحلیل تاریخچه زمانی، سازگاری بزرگاً و فاصله رکورد ثبت شده انتخابی با سناریوی غالب ساختگاه در کنار مقیاس‌سازی آنها

طبقات نسبت به ارتفاع هر طبقه (MIDR). یک گروه از سازه‌های قاب خمثی فولادی یک دهانه با ارتفاع  $3, 6, 9$  و  $12$  متر طبقه که به لحاظ مقاومت و سختی در زمرة سازه‌های منظم قرار می‌گیرند، مورد مطالعه قرار گرفته‌اند. در مطالعه‌ی حاضر از یک مجموعه مرجع که شامل  $44$  شتاب‌نگاشت حوزه دور می‌باشد استفاده شده است. مقیاس‌سازی این شتاب‌نگاشت‌ها جهت انجام تحلیل‌های تاریخچه زمانی به گونه‌ای انجام شده است که مقدار پاسخ شتاب طیفی هر کدام از آنها در پریود مود اول سازه مورد تحلیل منطبق با مقدار متناظر در طیف هدف شود. اطلاعات مربوط به زیرمجموعه شتاب‌نگاشت‌های پیشنهادی روش انتخاب بهینه شتاب‌نگاشت‌ها برای گروه‌های مختلف سازه‌ای با توجه به مشخصه پریود مود اول آنها در جدول (پ-۱) موجود است.

## ۲- مدل‌های سازه‌ای مورد استفاده در این مطالعه

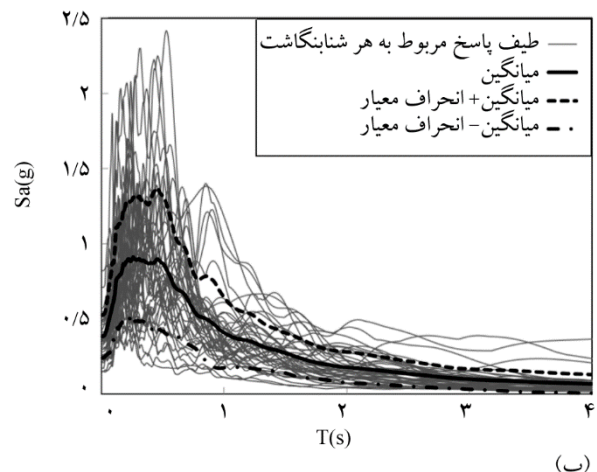
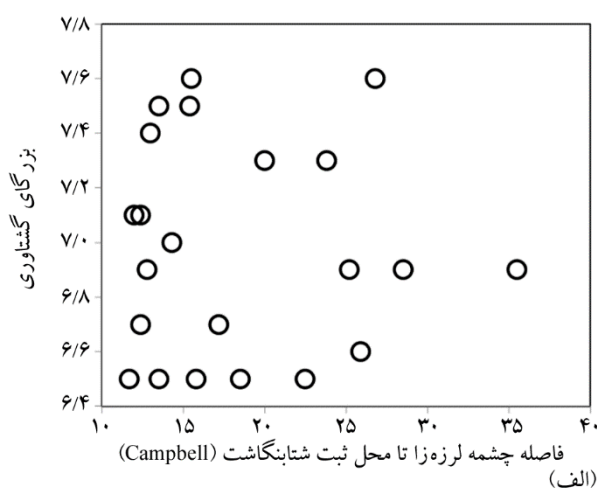
مدل‌های سازه‌ای مورد استفاده در این مطالعه شامل یک گروه قاب خمثی دو بعدی فولادی یک دهانه می‌باشند. این گروه از سازه‌ها که در ادامه به آنها «قاب‌های فولادی» خواهیم گفت، به صورتی طراحی شده‌اند که تغییرات سختی و مقاومت در طبقات آنها به شکل تدریجی باشد. قاب‌های فولادی به صورت  $3, 6, 9$  و  $12$  طبقه و در دو نوع رفتار دینامیکی سخت و نرم به ترتیب دارای پریود مود اول  $0/1$  و  $0/2$  برابر تعداد طبقات (شکل ۱)، به گونه‌ای طراحی شده‌اند که در هنگام قرار گرفتن در معرض بار جانی دارای الگوی بار معادل استاتیکی مطابق با خوبی استاندارد  $2800$  [۹]، جایه‌جایی نسبی طبقات مختلف آنها به طور تقریبی یکسان شوند. جرم هر طبقه  $20$  تن، ارتفاع هر طبقه  $3/5$  متر و عرض دهانه‌ی قاب‌ها  $7$  متر در نظر گرفته شده است. در طراحی این قاب‌ها فلسفه‌ی تیر ضعیف-ستون قوی لحاظ گردیده و مفاصل متمرکز پلاستیک صرفاً در انتهای تیرها و همچنین پای ستون‌های طبقه اول مدل شده‌اند. با توجه به این رویکرد، مفروض است که ستون‌های طبقات دیگر به صورت الاستیک باقی بمانند. مدل رفتاری مفاصل

نسبت داد که طیف خطر یکنواخت، حاصل در نظر گرفتن مجموعه‌ای از رخدادهای لرزه‌ای در فواصل و بزرگ‌گاهای مختلف بوده و از این‌رو در محدوده پریودی وسیعی مقادیر این طیف نسبت به طیف پاسخ یک رکورد زلزله بالاتر خواهد بود [۶-۷]. در نظر گرفتن شکل طیف در روند انتخاب شتاب‌نگاشت‌ها، می‌تواند منجر به کاهش تمایل آماری و پراکندگی در تخمین پارامترهای پاسخ سازه‌ای شود [۵]. نشان داده شده است که اپسیلون ( $\epsilon$ ) به معنای میزان اختلاف بین شتاب طیفی یک شتاب‌نگاشت با میانگین طیفی محاسبه شده توسط روابط کاهندگی در پریود مورد نظر، می‌تواند به عنوان شاخصی برای شکل طیف به کار رود [۷]. استفاده از شاخص‌های توصیف کننده شکل طیف در فرایند انتخاب شتاب‌نگاشت‌ها اگرچه دارای توانایی بالاتری نسبت به روش‌های پیشین است، اما فرایند انتخاب شتاب‌نگاشت‌ها در این روش باید به صورت ویژه برای هر کدام از سازه‌های مورد تحلیل تکرار شود. غفوری آشتیانی و همکاران [۸] در سال  $2011$  ایده گروه‌بندی سازه‌ها بر اساس مشخصات لرزه‌ای و انتخاب بهینه شتاب‌نگاشت‌های مورد نیاز از یک مجموعه مرجع مناسب را برای هر کدام از این گروه‌ها مطرح کردند. امکان استفاده از زیرمجموعه منتخب، برای تحلیل سازه‌هایی که با توجه به رفتار دینامیکی خود در هر کدام از گروه‌های از پیش تعیین شده قرار می‌گیرند، از ویژگی‌های مثبت و جذاب این روش در کارهای عملی است. با توجه به اینکه هدف از این روش تخمین ظرفیت فروریزش سازه‌ها بر مبنای IDA با استفاده از تعداد محدودی شتاب‌نگاشت در کنار حفظ سطح قابلیت اطمینان پاسخ‌ها عنوان شده است، تعیین استفاده از آن در تخمین پارامترهای پاسخ سازه‌ای پیش از وقوع فروریزش نیاز به بررسی‌های بیشتر دارد. مرکز مطالعه‌ی حاضر بر امکان‌سنگی کاربرد روش انتخاب بهینه شتاب‌نگاشت‌ها جهت تخمین پاسخ دینامیکی قاب‌های خمثی فولادی است. پارامترهای پاسخ در نظر گرفته شده عبارتند از: شتاب مطلق طبقات، جایه‌جایی نسبی طبقات (دریفت نسبی هر طبقه)، جایه‌جایی طبقات، لنگر پایه، برش پایه و بیشینه جایه‌جایی نسبی

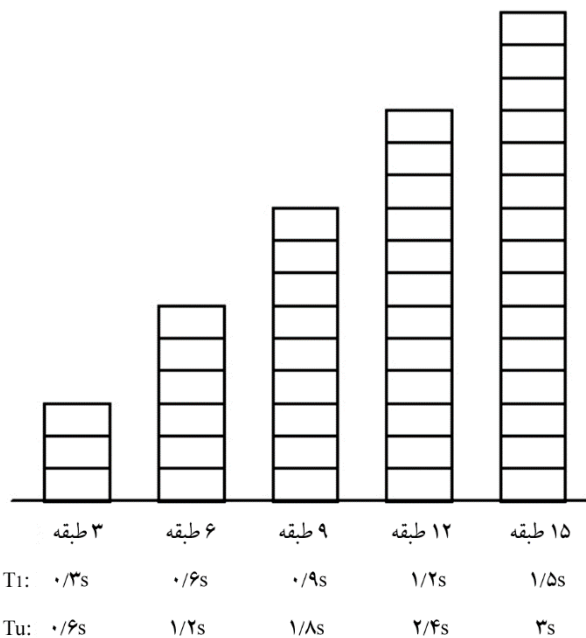
در مراجع [۱۰-۱۲] نیز مورد استفاده قرار گرفته است. این بانک قاب‌های فولادی به منظور بررسی جامع در زمینه‌ی روش‌های انتخاب و مقیاس‌سازی شتاب نگاشت‌ها تهیه و مورد استفاده قرار گرفته است [۱۳].

### ۳- شتاب نگاشت‌ها و طیف‌های طرح مورد استفاده

در این مطالعه، یک مجموعه مرجع شامل ۴۶ شتاب نگاشت حوزه دور مورد استفاده قرار گرفته است. این مجموعه در پروژه ATC63 [۱۴] که با هدف سنجش صحت ضوابط طراحی لرزه‌ای سازه‌ها تعریف شده نیز مورد استفاده قرار گرفته است. در شکل (۲-الف) پراکندگی بزرگ‌آ- فاصله شتاب نگاشت‌های موجود در این مجموعه مرجع نشان داده شده است.



شکل (۲): (الف) پراکندگی بزرگ‌آ- فاصله شتاب نگاشت‌های مورد استفاده (ب) طیف پاسخ شتاب با میرایی ۵٪/شتاب نگاشت‌های موجود مجموعه مرجع.



شکل (۱): قاب‌های فولادی یک دهانه دارای تعداد طبقات ۳، ۶، ۹، ۱۲، ۱۵ طبقه مورد استفاده در این مطالعه.

پلاستیک متمرکز با استفاده از مدل Steel02 و با سختی پس از جاری شدن معادل با ۳٪ از سختی الستیک اولیه تعریف شده است. لنگر جاری شدن مفاصل پلاستیک طوری تعیین شده‌اند که تمام مفاصل تحت اثر بار جانبی دارای الگوی بار معادل استاتیکی مطابق با ضوابط استاندارد [۹] به طور همزمان جاری شوند. برش پایه طرح برابر با پاسخ طیف شتاب طرح در پریود مود اول سازه‌ی مورد نظر، ضرب در جرم کل آن سازه در نظر گرفته شده است. با هدف ایجاد تنوع در سطوح مقاومت مدل‌های سازه‌ای، از چهار طیف طرح معادل با شکل پذیری ۱، ۲، ۴ و ۶ استفاده شده است. با این فرضیات، هشت طراحی مختلف (با توجه به دو مقدار برای پریود مود غالب و ۴ مقدار برای شکل پذیری) برای هر قاب با تعداد طبقات مشخص و جمعاً ۴۰ قاب منظم خواهیم داشت. میرایی قاب‌ها به صورت رایلی فرض شده و ضرایب آن طوری تعیین شده است که نسبت میرایی مود اول و اولین مودی که ضریب مشارکت جرمی تجمعی آن بیشتر از ۹۵٪ می‌باشد، معادل با ۵٪ شوند. همچنین در طراحی قاب‌ها اثر P-Δ کلی (Global P-delta) در نظر گرفته شده است. لازم به ذکر است که ایده‌ی مدل سازی این نوع قاب‌ها پیش‌تر

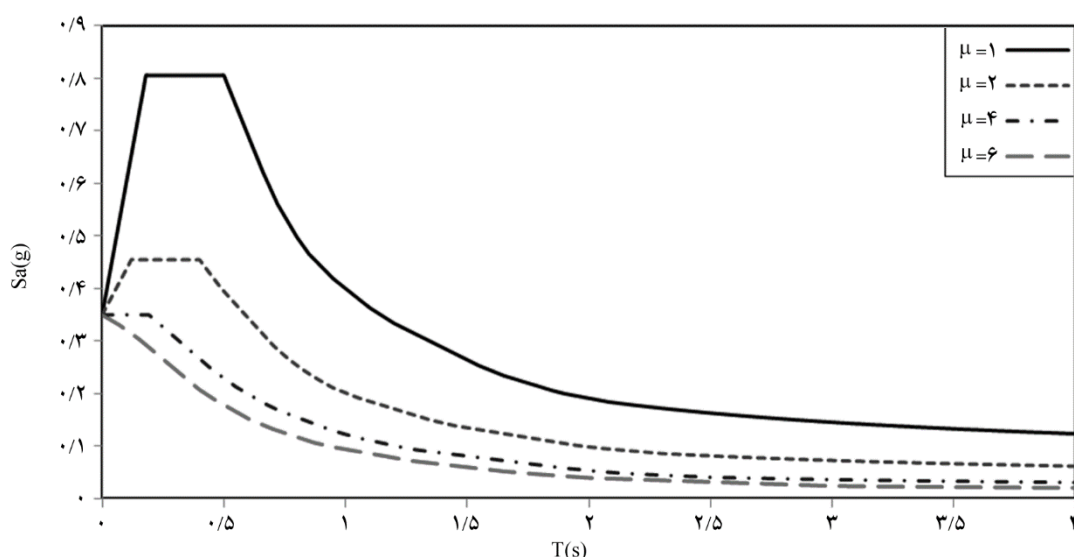
میانگین طیف‌های با شکل پذیری ثابت برای مجموعه شتاب‌نگاشت مرجع که بیشینه شتاب حرکت زمین آنها به  $0/35g$  مقیاس شده است تحت ضرایب شکل پذیری  $2, 4, 6$  از طریق تحلیل تاریخچه زمانی سازه‌های یک درجه آزاد غیرخطی متناظر محاسبه شده‌اند. در مرحله بعد، پس از هموارسازی طیف‌های میانگین به دست آمده کنترل شده است که از دوسوم برابر طیف غیرخطی نیومارک با شکل پذیری متناظر که از تقسیم طیف طرح الاستیک استاندارد  $2800$  بر ضریب کاهش مقاومت ( $R\mu$ ) به دست می‌آید، کمتر نباشد. ضرایب کاهش مقاومت در محدوده‌های پریودی مختلف برای به دست آوردن طیف غیرخطی نیومارک به صورت رابطه (۱) بوده است [۱۶]. سپس، طیف غیرخطی حاصل به عنوان طیف طرح در نظر گرفته شده است. طیف‌های طرح به دست آمده مبتنی بر فرایند مذکور در شکل (۳) نمایش داده شده‌اند.

$$\begin{cases} R\mu = 1 & T < 0/05sec \\ R\mu = \sqrt{2\mu - 1} & 0/12sec < T < 0/5sec \\ R\mu = \mu & T > 1sec \end{cases} \quad (1)$$

#### ۴- ارزیابی کارایی روش مقیاس‌سازی بر اساس هدف $S_a(T_1)$

همان‌طور که پیش‌تر عنوان گردید، در این مطالعه، مقیاس‌سازی

در شکل (۲-ب) طیف پاسخ هر یک از آنها در کنار میانگین طیفی این  $44$  شتاب‌نگاشت نمایش داده شده‌اند. اطلاعات بیشتر در مورد معیارهای کامل انتخاب آنها، در مرجع [۱۵] موجود می‌باشد. همچنین مشخصات شتاب‌نگاشتهای مجموعه مرجع مورد استفاده، در جدول (پ-۲) موجود است. با توجه به اینکه طراحی سازه‌ها برای چهار سطح مقاومتی مختلف متناظر با شکل پذیری ثابت  $1, 2, 4, 6$  مورد نظر می‌باشد، علاوه بر نیاز به طیف طرح الاستیک ( $\mu=1$ )، به طیف‌های طرح غیراستیک در سه سطح شکل پذیری  $2, 4, 6$  نیز نیاز خواهیم داشت. جهت تعیین طیف طرح الاستیک در این مطالعه با توجه به بیشینه شتاب حرکت زمین برای پنهانه با خطر نسبی خیلی زیاد و خاکی نوع  $2$  که در استاندارد  $2800$  [۹] معادل با  $0/35g$  تعیین شده است، در ابتدا میانگین طیف پاسخ مجموعه شتاب‌نگاشت مرجع که بیشینه شتاب همه آنها به  $0/35g$  مقیاس شده مورد محاسبه قرار گرفته و در مرحله‌ی بعد پس از هموارسازی طیف میانگین به دست آمده، کنترل شده است که این طیف در هیچ پریودی کمتر از دوسوم برابر طیف طرح آین نامه نباشد. پس از اعمال تغییرات لازم در طیف میانگین، جهت برآورده این ضابطه، طیف حاصل به عنوان طیف هدف تعیین شده است. جهت تعیین طیف‌های طرح غیراستیک مورد نیاز، در ابتدا



شکل (۳): طیف‌های طرح مورد استفاده در این مطالعه.

شكل پذیری قاب‌ها رابطه‌ی مستقیمی با افزایش پراکندگی داشته است. این در حالی است که این مورد در تخمین جابه‌جایی نسبی طبقات و MIDR صرفاً در قاب‌های ۳ طبقه دارای رفتار دینامیکی سخت و نرم و قاب‌های ۶ طبقه با رفتار دینامیکی سخت قابل مشاهده است. در سایر قاب‌ها اگرچه شکل پذیری به عنوان عاملی مؤثر عمل نموده است، اما الگوی مشخصی برای آن نسبت به میزان پراکندگی مشاهده نمی‌شود.

توجه به این نکه لازم است که میزان حساسیت انتخاب زیرمجموعه شتاب نگاشت‌های مناسب از یک مجموعه مرتع، کاملاً می‌تواند به مقدار پراکندگی تخمین‌های محاسبه شده با کاربرد مجموعه مرتع شتاب نگاشت‌ها وابسته باشد.

## ۵- ارزیابی روش انتخاب بهینه شتاب نگاشت‌ها از نظر تخمین تقاضای میانگین پارامترهای پاسخ

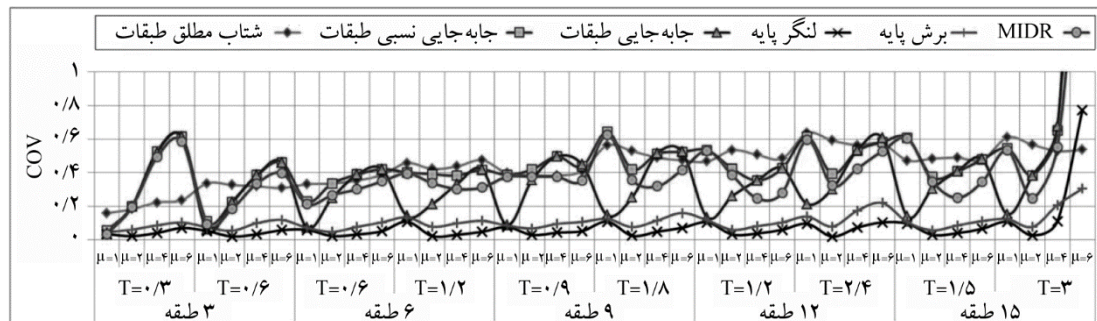
برای ارزیابی روش انتخاب بهینه شتاب نگاشت‌ها از نظر تخمین تقاضای میانگین پارامترهای پاسخ، در ابتدا پارامترهای  $\alpha$  و  $\beta$  به صورت روابط (۲) و (۳) تعریف شده‌اند.

$$\alpha = \frac{\frac{1}{n} \sum_{i=1}^n EDP_{Subset\ i}}{\frac{1}{n} \sum_{i=1}^n EDP_{General\ set}} \quad (2)$$

$$\beta = \frac{COV(EDP_{Subset\ i})}{COV(EDP_{General\ set})} \quad (3)$$

شتاب نگاشت‌ها جهت انجام تحلیل‌های تاریخچه زمانی به گونه‌ای انجام شده است که مقدار پاسخ شتاب طیفی هر کدام از آنها در پریود مود اول سازه مورد تحلیل معادل با مقدار متناظر در طیف هدف برابر شود. پراکندگی بیشتر در تخمین‌های به دست آمده توسط هر روش مقیاس‌سازی به کارایی کمتر آن روش تغییر می‌شود. در این مطالعه، از ضریب تغییرپذیری (COV) که برابر با انحراف معیار تقسیم بر میانگین یک جامعه‌ی آماری می‌باشد، به عنوان شاخصی از پراکندگی تخمین‌ها استفاده شده است.

در شکل (۴) ضریب تغییرپذیری تخمین‌های به دست آمده با استفاده از ۴۴ شتاب نگاشت مجموعه مرتع مقیاس شده بر مبنای (T1) هدف، برای ۴۰ قاب منتخب در این مطالعه نمایش داده شده است. لازم به ذکر است که در مورد پارامترهای پاسخی که در تمام طبقات ثبت شده‌اند (مانند شتاب مطلق طبقات)، بیشینه ضریب تغییرپذیری آن پارامتر در بین همه طبقات، جهت رسم شکل (۴) استفاده شده است. با توجه به این شکل، کارایی این روش مقیاس‌سازی در تخمین پارامترهای مختلف پاسخ متفاوت است، به‌طوری که کارایی آن در اکثر موارد در تخمین لنگر و برش پایه بیشتر از سایر پارامترهای پاسخ است. همچنین، قبل مشاهده است که میزان پراکندگی تخمین‌های به دست آمده می‌تواند وابسته به مشخصات سازه‌ی مورد تحلیل باشد. شکل پذیری قاب‌ها به خصوص در پارامترهای پاسخ از جنس جابه‌جایی دارای تأثیر قابل توجهی بر ضرایب تغییرپذیری بوده است. در تخمین جابه‌جایی طبقات، افزایش



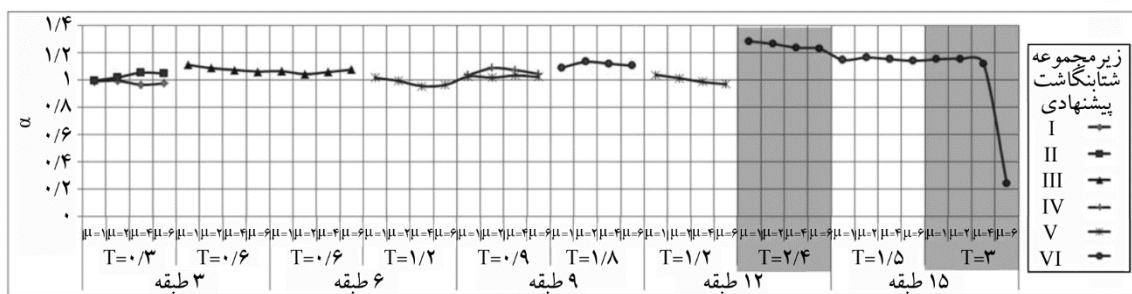
شکل (۴): ضریب تغییرپذیری پارامترهای پاسخ مختلف تخمین‌زده شده توسط روش Sa(T1) در قاب‌های فولادی.

تخمین‌های محاسبه شده توسط زیرمجموعه شتاب‌نگاشت‌های پیشنهادی نسبت به مقادیر محاسبه شده توسط مجموعه مرجع شتاب‌نگاشت‌ها است. در ادامه به بررسی مقادیر  $\alpha$  و  $\beta$  در تخمین پارامترهای پاسخ قاب‌های فولادی و نامنظم پرداخته شده است. توجه به این نکته خالی از لطف نیست که گروه‌بندی سازه‌ها در روش پیشنهادی [۸]، دارای کرانه بالای پریود برابر ۲ ثانیه است، بنابراین سازه‌های دارای پریود بالاتر از ۲ ثانیه در مرحله‌ی ارزیابی‌های عمومی به منظور افزایش قابلیت اطمینان در نتیجه‌گیری‌ها کنار گذاشته شده‌اند.

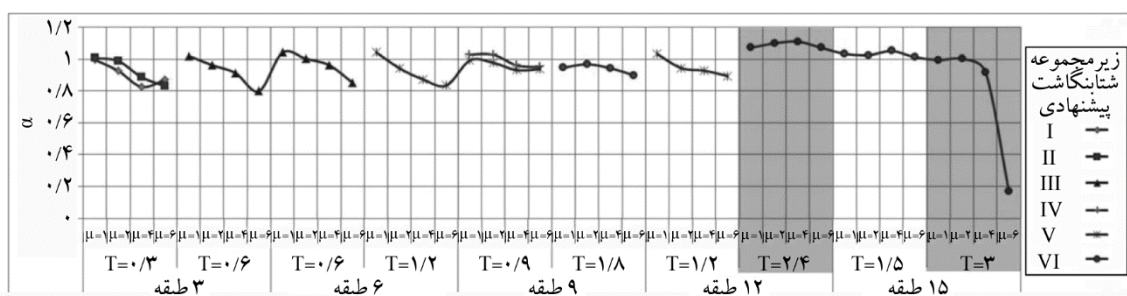
مقادیر  $\alpha$  و  $\beta$  محاسبه شده در تخمین پارامترهای پاسخ قاب‌های فولادی با استفاده از زیرمجموعه شتاب‌نگاشت‌های پیشنهاد شده به ترتیب در شکل‌های (۵) تا (۱۰) و (۱۱) تا (۱۶) نمایش داده شده‌اند. در محاسبه‌ی این مقادیر برای قاب‌های دارای پریود  $2/4$  ثانیه و  $3$  ثانیه که برای آنها زیرمجموعه پیشنهادی در جدول (پ-۱) وجود نداشت از زیرمجموعه VI استفاده شده است. نتایج این قاب‌ها در شکل‌های (۵) تا (۱۶) به صورت پرنگ نمایش داده شده‌اند.

در این روابط،  $i$  EDP<sub>subset</sub> پارامترهای پاسخ تخمین زده شده توسط زیرمجموعه شتاب‌نگاشت‌های آم، EDP<sub>Generalset</sub> پارامترهای پاسخ تخمین زده شده توسط مجموعه مرجع شتاب‌نگاشت‌ها COV ضریب تغییرپذیری و  $n$  تعداد شتاب‌نگاشت‌های مورد استفاده جهت انجام تحلیل می‌باشد. زیرمجموعه آم، می‌تواند هر یک از زیرمجموعه‌های I تا VI نشان داده شده در جدول (پ-۱) باشد. لازم به ذکر است که در مورد پاسخ‌هایی که در تمام طبقات قاب‌ها ثبت شده‌اند (مانند شتاب مطلق طبقات)، مقدار  $\alpha$  برای هر یک از طبقات محاسبه و میانگین آنها به عنوان شاخص عملکرد نسبی روش‌ها گزارش شده است؛ همچنین در مورد این دسته از پاسخ‌ها بیشینه ضریب تغییرپذیری در بین همه طبقات، جهت محاسبه مقدار  $\beta$  مورد استفاده قرار گرفته است.

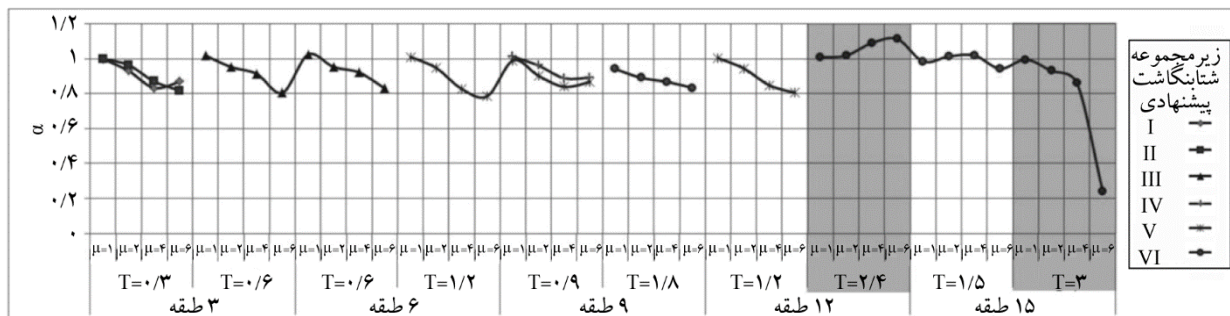
نزدیک‌تر بودن مقادیر  $\alpha$  به مقدار  $1$ ، مترادف است با دقت بیشتر زیرمجموعه شتاب‌نگاشت‌های پیشنهادی در ارائه‌ی تخمین‌های برابر با مجموعه شتاب‌نگاشت‌های مرجع و کمتر بودن مقادیر  $\beta$  از مقدار  $1$  به معنای کاهش در پراکندگی



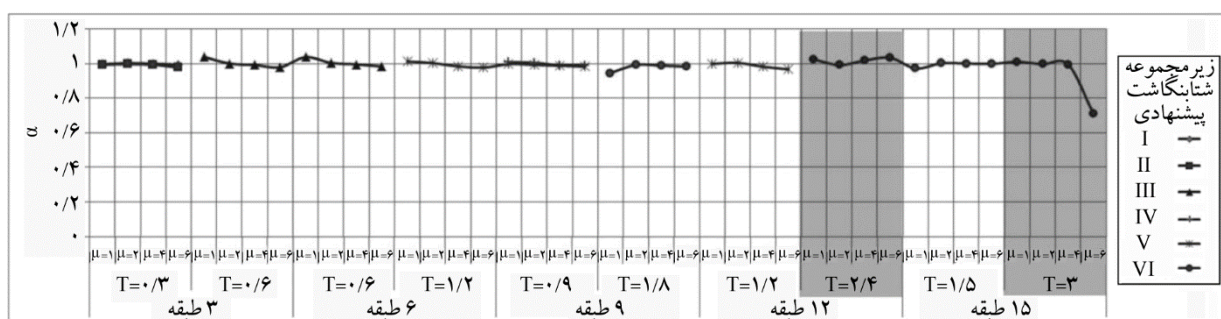
شکل (۵): مقادیر  $\alpha$  در تخمین شتاب مطلق طبقات قاب‌های فولادی توسط زیرمجموعه‌های پیشنهاد شده.



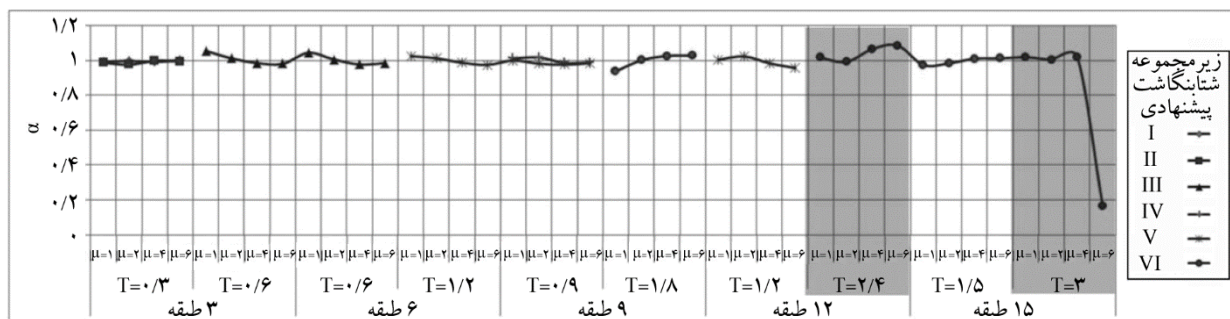
شکل (۶): مقادیر  $\beta$  در تخمین جابه‌جایی نسبی طبقات قاب‌های فولادی توسط زیرمجموعه‌های پیشنهاد شده.



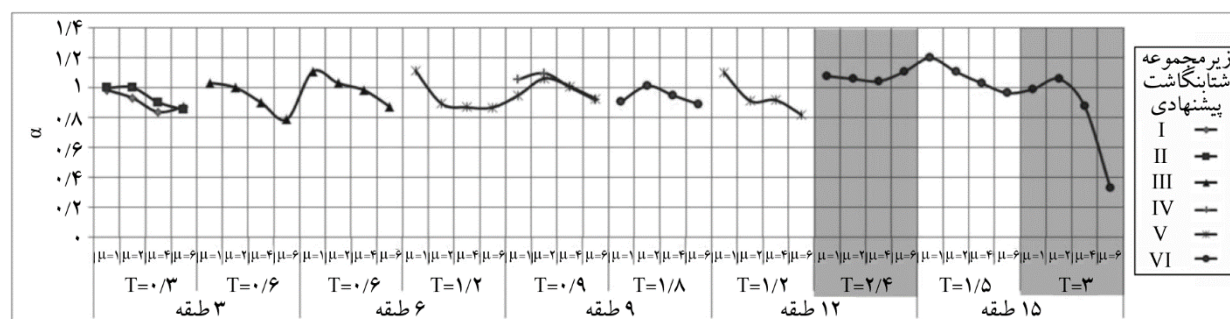
شکل (۷): مقادیر  $\alpha$  در تخمین جایه‌جایی طبقات قاب‌های فولادی توسط زیرمجموعه‌های پیشنهاد شده.



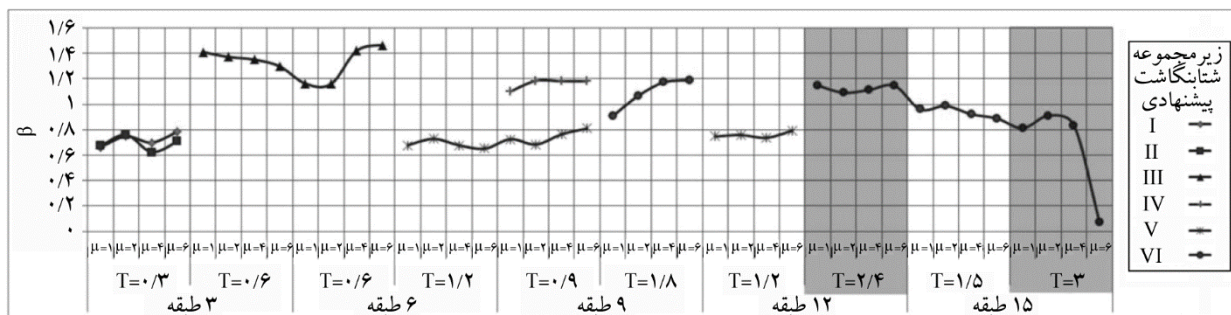
شکل (۸): مقادیر  $\alpha$  در تخمین لنگر پایه قاب‌های فولادی توسط زیرمجموعه‌های پیشنهاد شده.



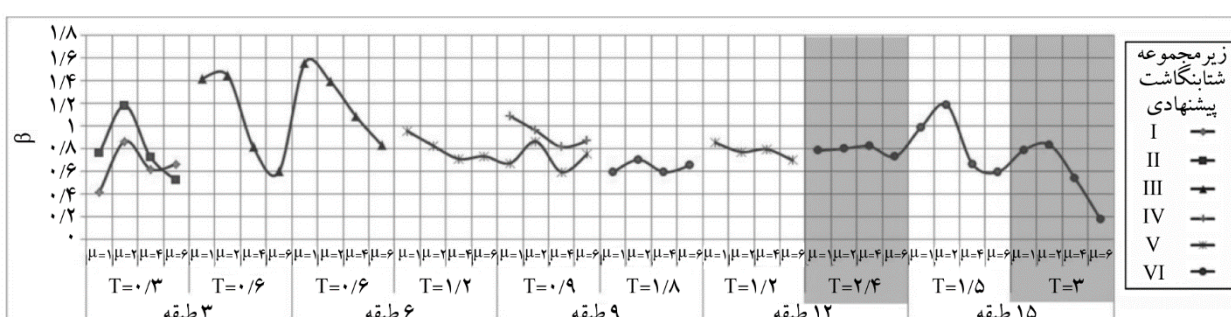
شکل (۹): مقادیر  $\alpha$  در تخمین برش پایه قاب‌های فولادی توسط زیرمجموعه‌های پیشنهاد شده.



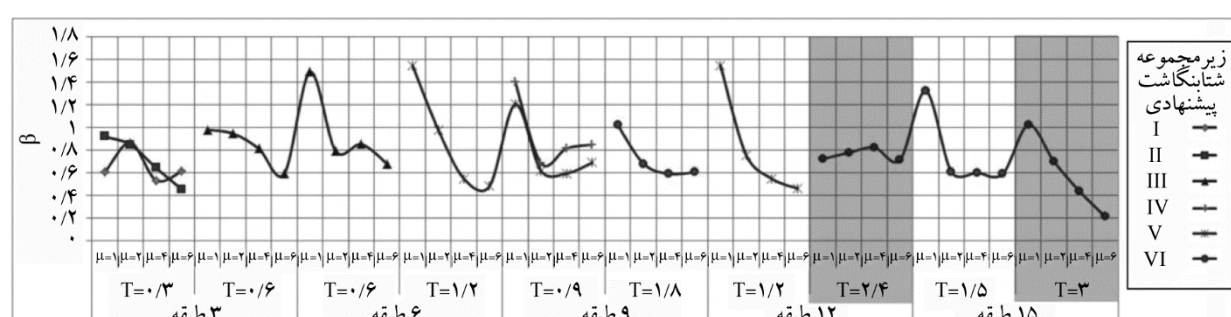
شکل (۱۰): مقادیر  $\alpha$  در تخمین MIDR قاب‌های فولادی توسط زیرمجموعه‌های پیشنهاد شده.



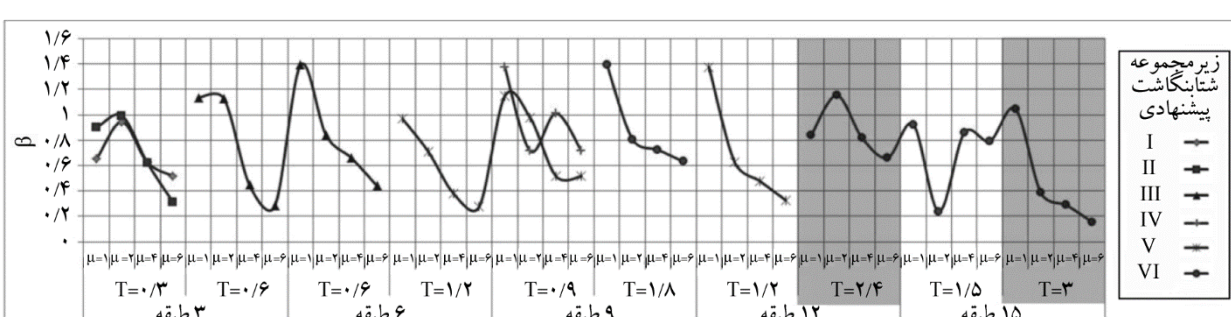
شکل (۱۱): مقادیر  $\beta$  در تخمین شتاب مطلق طبقات قاب‌های فولادی توسط زیرمجموعه‌های پیشنهاد شده.



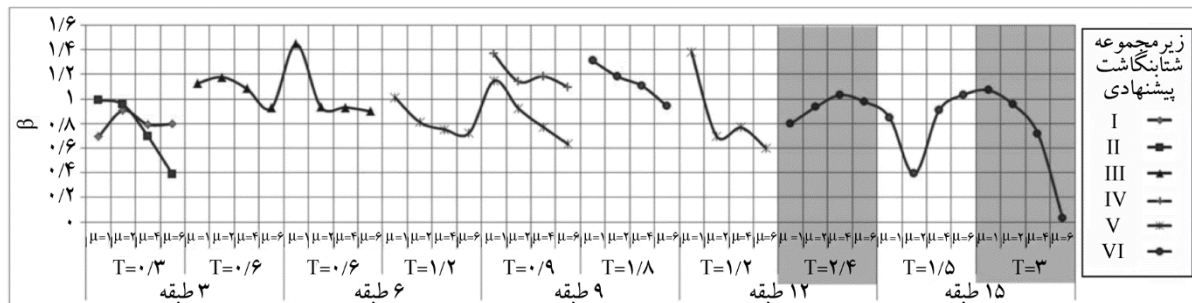
شکل (۱۲): مقادیر  $\beta$  در تخمین جابه‌جایی نسبی طبقات قاب‌های فولادی توسط زیرمجموعه‌های پیشنهاد شده.



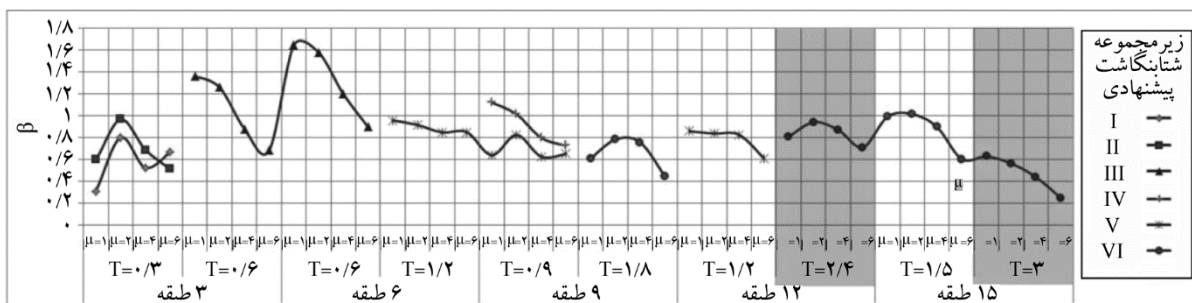
شکل (۱۳): مقادیر  $\beta$  در تخمین جابه‌جایی طبقات قاب‌های فولادی توسط زیرمجموعه‌های پیشنهاد شده.



شکل (۱۴): مقادیر  $\beta$  در تخمین لگر پایه طبقات قاب‌های فولادی توسط زیرمجموعه‌های پیشنهاد شده.



شکل (۱۵): مقادیر  $\beta$  در تخمین برش پایه طبقات قاب های فولادی توسط زیرمجموعه های پیشنهاد شده.



شکل (۱۶): مقادیر  $\beta$  در تخمین MIDR طبقات قاب های فولادی توسط زیرمجموعه های پیشنهاد شده.

لزوماً باعث کاهش پراکندگی پاسخ ها نسبت به حالتی که از کل شتاب نگاشت های مجموعه مرجع استفاده می شود نشده است. نتایج به دست آمده از بررسی میانگین و پراکندگی پارامترهای پاسخ، به ترتیب در جدول های (۱) و (۲) نمایش داده شده اند.

با توجه به شکل های (۵) تا (۱۰)، اگرچه در تعدادی از قاب ها، زیرمجموعه های پیشنهادی تخمین دقیقی از پارامترهای پاسخ ارائه داده اند، اما این ویژگی عمومیت نداشته است. همچنین، همان طور که در شکل های (۱۱) تا (۱۶) مشاهده می شود، استفاده از زیرمجموعه های پیشنهادی،

جدول (۱): نتایج به دست آمده از بررسی مقادیر  $\alpha$  زیرمجموعه شتاب نگاشت های پیشنهاد شده برای قاب های فولادی.

پارامترهای پاسخ	کمینه $\alpha$	بیشینه $\alpha$	توضیحات
شتاب مطلق طبقات	۰.۹۵	۱/۱۶	در اکثر موارد مقادیر $\alpha$ به ۱ نزدیک می باشند. زیرمجموعه VI تخمین های بدنسبت دست بالاتری داشته است.
جابه جایی نسبی طبقات	۰/۸	۱/۰۵	در اکثر موارد در قاب های دارای شکل پذیری ۱ تخمین ها دقیق و در قاب های دارای شکل پذیری بالاتر تخمین ها دست پایین بوده اند.
جابه جایی طبقات	۰/۷۹	۱/۰۲	در اکثر موارد در قاب های دارای شکل پذیری ۱ تخمین ها دقیق و در قاب های دارای شکل پذیری بالاتر تخمین ها دست پایین بوده اند.
لغز پایه	۰/۹۴	۱/۰۴	در اکثر قاب ها تخمین ها از دقت قابل قبولی برخوردار بوده اند.
برش پایه	۰/۹۴	۱/۰۵	در اکثر قاب ها تخمین ها از دقت قابل قبولی برخوردار بوده اند.
MIDR	۰/۷۹	۱/۲	اکثر تخمین های دست پایین متعلق به قاب های شکل پذیرتر بوده است.

جدول (۲): نتایج به دست آمده از بررسی مقادیر  $\beta$  زیرمجموعه شتاب‌نگاشت‌های پیشنهاد شده برای قاب‌های فولادی.

پارامترهای پاسخ	کمینه $\beta$	بیشینه $\beta$	توضیحات
شتاب مطلق طبقات	۰/۶۲	۱/۴۷	لزوماً استفاده از زیرمجموعه‌های پیشنهادی منجر به کاهش پراکندگی تخمین‌ها نشده است. پراکندگی در مورد تخمین‌های زیرمجموعه‌های III و IV زیاد بوده است. با اینکه در قاب‌های دارای پریود ۰/۹ ثانیه استفاده از زیرمجموعه‌های IV و V مجاز بوده، اما پراکندگی تخمین‌ها در زیرمجموعه IV بیشتر بوده است. استفاده از زیرمجموعه VI در قاب‌های دارای پریود ۱/۸ ثانیه منجر به پراکندگی بیشتر نسبت به تخمین‌های آن در قاب‌های دارای پریود ۱/۵ ثانیه شده است. اختلاف نسبی عملکرد زیرمجموعه‌های I و II در تخمین پاسخ قاب‌های دارای پریود ۰/۳ ثانیه زیاد نیست.
جابه‌جایی نسبی طبقات	۰/۴۱	۱/۵۵	لزوماً استفاده از زیرمجموعه‌های پیشنهادی منجر به کاهش پراکندگی تخمین‌ها نشده است. با اینکه در قاب‌های دارای پریود ۰/۹ ثانیه استفاده از زیرمجموعه‌های IV و V مجاز بوده، اما پراکندگی تخمین‌ها در زیرمجموعه IV کمی بیشتر بوده است. زیرمجموعه III در قاب‌های دارای شکل پذیری بایین، تخمین‌های پراکنده‌ای را نشان داده است. استفاده از زیرمجموعه VI در قاب‌های دارای پریود ۱/۵ و ۱/۸ ثانیه عملکردهای سبتاً متفاوتی را نشان داده است.
جابه‌جایی طبقات	۰/۴۵	۱/۵۵	لزوماً استفاده از زیرمجموعه‌های پیشنهادی منجر به کاهش پراکندگی تخمین‌ها نشده است. زیرمجموعه III در قاب‌های دارای شکل پذیری ۱ تخمین‌های پراکنده‌ای را نشان داده است. در زیرمجموعه VII با افزایش شکل پذیری قاب‌ها، مقادیر $\beta$ کاهش یافته است.
لنگر پایه	۰/۲۴	۱/۴	لزوماً استفاده از زیرمجموعه‌های پیشنهادی منجر به کاهش پراکندگی تخمین‌ها نشده است. در زیرمجموعه VII با افزایش شکل پذیری قاب‌ها، مقادیر $\beta$ کاهش یافته است. استفاده از زیرمجموعه VI در قاب‌های دارای پریود ۱/۵ و ۱/۸ ثانیه عملکردهای سبتاً متفاوتی را نشان داده است. زیرمجموعه III در قاب‌های دارای شکل پذیری ۱ تخمین‌های پراکنده‌ای را نشان داده است.
برش پایه	۰/۳۸	۱/۴۵	لزوماً استفاده از زیرمجموعه‌های پیشنهادی منجر به کاهش پراکندگی تخمین‌ها نشده است. با اینکه در قاب‌های دارای پریود ۰/۹ ثانیه استفاده از زیرمجموعه‌های IV و V مجاز بوده، اما پراکندگی تخمین‌ها در زیرمجموعه IV بیشتر بوده است. در زیرمجموعه VII با افزایش شکل پذیری قاب‌ها، مقادیر $\beta$ عموماً دچار کاهش شده‌اند.
MIDR	۰/۳۱	۱/۶۴	لزوماً استفاده از زیرمجموعه‌های پیشنهادی منجر به کاهش پراکندگی تخمین‌ها نشده است. با اینکه در قاب‌های دارای پریود ۰/۹ ثانیه استفاده از زیرمجموعه‌های IV و V مجاز بوده، اما پراکندگی تخمین‌ها در زیرمجموعه IV کمی بیشتر بوده است. در زیرمجموعه III با افزایش شکل پذیری قاب‌ها، مقادیر $\beta$ کاهش یافته است.

مقیاس‌سازی شتاب‌نگاشت‌ها تأثیرگذار باشد، یکی از دغدغه‌های موجود در استفاده از این روش‌ها است. در فرایند پیشنهاد زیرمجموعه شتاب‌نگاشت‌های مناسب در روش انتخاب بهینه شتاب‌نگاشت‌ها جهت گروه‌بندی سازه‌ها نیز از سازه‌های یک درجه آزاد استفاده شده است [۸]. یکی از عوامل محتمل تأثیرگذار که نحوه‌ی در نظر گرفتن تأثیر آن توسط سازه‌های یک درجه آزاد معادل مبهم می‌باشد، تعداد طبقات و یا به

## ۶- بررسی اثر تعداد طبقات در تخمین پاسخ‌های دینامیکی قاب‌های هم پریود

در برخی از روش‌های انتخاب و یا مقیاس‌سازی شتاب‌نگاشت‌ها، از یک سازه‌ی یک درجه آزاد معادل با مود اول سازه‌ی مورد تحلیل جهت در نظر گرفتن مشخصات دینامیکی سازه مورد نظر استفاده می‌شود. این موضوع که این ساده‌سازی تا چه حد می‌تواند بر عملکرد روش‌های انتخاب و یا

قرار گرفته است. همچنین، در این جدول‌ها نسبت‌های بزرگتر از  $1/2$  و کوچک‌تر از  $8/0$  با رنگ تیره نمایش داده شده‌اند. با توجه به نتایج دو جدول اخیر، در بسیاری موارد افزایش تعداد طبقات موجب تغییر بیش از  $20\%$  درصدی در ضرایب تغییرپذیری تخمین‌های به دست آمده شده است. این تغییرات بیشتر به صورت افزایشی بوده‌اند. با توجه به اینکه در مقیاس‌سازی شتاب‌نگاشت‌ها بر اساس  $(T_1)_S$  نیز در حقیقت از یک سازه‌ی یک درجه آزاد الاستیک معادل با مود اول سازه‌ی مرجع استفاده می‌شود، می‌توان بخشی از عدم ثبات در میزان کارایی زیرمجموعه شتاب‌نگاشت‌های پیشنهادی در تخمین پاسخ‌های دینامیکی قاب‌های هم‌پریود دارای تعداد طبقات مختلف را به فرایند مقیاس‌سازی شتاب‌نگاشت‌ها نسبت داد. شایان ذکر است کاربرد ساده‌سازی مذکور در چارچوب زلزله عملکردی متداول است [۱۷]، در حالی که ارزیابی‌های دقیق از تأثیرگذاری آن در نتایج در ادبیات فنی چندان پربار نیست.

بارتی تعداد درجات آزادی سازه مرجع است. جهت مشاهده‌ی میزان تأثیرگذاری این مشخصه سازه‌ای، می‌بایست اثر تعداد طبقات در سازه‌های هم پریود مورد مطالعه قرار گیرد. مورد اخیر به دلیل حذف اثرات احتمالی ناشی از تغییر در تقاضای لرزه‌ای منتج از تغییر در پریود سازه‌ای می‌باشد. در این مطالعه، جهت بررسی اثر تعداد طبقات از قاب‌های فولادی ۳ و ۶ طبقه دارای پریود ۰/۶ ثانیه و همچنین قاب‌های ۶ و ۱۲ طبقه دارای پریود ۱/۲ ثانیه استفاده شده است.

در جدول های (۳) و (۴) اثر تعداد طبقات بر ضرایب تغییر پذیری تخمین های به دست آمده از زیر مجموعه شتاب نگاشت های پیشنهادی در قاب های فولادی هم پریود دارای پریود به ترتیب  $0/6$  و  $1/2$  ثانیه نمایش داده شده است. لازم به ذکر است که در مورد پارامترهای پاسخی که در تمام طبقات ثبت شده اند (مانند شتاب مطلق طبقات)، بیشینه ضریب تغییر پذیری آن پارامتر پاسخ در بین همه طبقات، مورد استفاده

جدول (۳): مقادیر ضرایب تعیین‌بندی بارگاه‌های مختلف باشخ در قاب ۶ طبقه نسبت به قاب ۳ طبقه دارای پر بود بکسان /۶۰ تانیه.

پارامترهای پاسخ							شکل پذیری
MIDR	برش پایه	لغز پایه	لگر پایه	جابه جایی طبقات	جابه جایی نسبی طبقات	شتاب مطلق طبقات	
۲/۸۰	۱/۲۳	۱/۳۸		۱/۷۹	۲/۲۷	۰/۸۱	۱
۱/۸۱	۰/۷۰	۰/۸۶		۰/۹۳	۱/۴۵	۰/۸۷	۲
۱/۲۲	۰/۶۶	۱/۴۲		۱/۰۶	۱/۳۴	۱/۱۷	۴
۱/۱۶	۰/۸۶	۱/۳۷		۱/۰۵	۱/۲۸	۱/۴۲	۶

جدول (۴): مقادیر ضرایب تغییر پذیری بارامترهای مختلف باشخ در قاب ۱۲ طبقه نسبت به قاب ۶ طبقه دارای بروید یکسان ۱/۲ ثانیه.

پارامترهای پاسخ							شکل پذیری
MIDR	بروش پایه	لنگر پایه	لنجیر پایه	جابه جایی طبقات	جابه جایی نسبی طبقات	شتاب مطلق طبقات	
۱/۲۰	۱/۱۸	۱/۳۷		۰/۹۴	۱/۱۸	۱/۱۲	۱
۱/۰۴	۰/۶۶	۱/۲۳		۰/۹۵	۱/۰۱	۱/۳۲	۲
۰/۷۹	۰/۸۵	۱/۵۷		۱/۰۷	۱/۰۳	۱/۲۶	۴
۰/۶۴	۰/۷۶	۱/۴۹		۰/۹۷	۰/۹۷	۱/۲۴	۶

شتاب نگاشت‌ها، حساسیت قابل توجهی نسبت به تعداد طبقات در قاب‌های دارای پریود یکسان نداشته است. از طرف دیگر، با توجه به جدول‌های (۷) و (۸) افزایش تعداد طبقات در قاب‌های هم‌پریود، در تعدادی از موارد منجر به ایجاد تغییرات بیش از ۲۰٪ در مقادیر  $\beta$  شده است. این مشاهده در قاب‌های دارای پریود ۰/۶ ثانیه تقویت می‌شود. با وجود تأثیر مشاهده شده از تعداد طبقات بر مقادیر  $\beta$ ، روند منطقی و مشخصی از نحوه اثرگذاری آن مشاهده نشد. به طور مثال، در تخمین پارامتر پاسخ MIDR افزایش تعداد طبقات در قاب دارای پریود ۰/۶ ثانیه منجر به افزایش  $\beta$  و در قاب دارای ۱/۲ ثانیه موجب کاهش این پارامتر بوده است.

جهت بررسی اثر تعداد طبقات در قاب‌های هم‌پریود بر عملکرد زیرمجموعه شتاب نگاشت‌های پیشنهاد شده نسبت به عملکرد مجموعه مرجع، مقادیر  $\alpha$  و  $\beta$  محاسبه شده با توجه به روابط (۲) و (۳) در قاب‌های دارای تعداد طبقات ۶ و ۱۲ طبقه به ترتیب نسبت به مقادیر متناظر در قاب‌های دارای تعداد طبقات ۳ و ۶ طبقه دارای پریود یکسان مورد محاسبه قرار گرفتند. این مقادیر در جدول‌های (۵) و (۶) برای پارامتر  $\alpha$  و در جدول‌های (۷) و (۸) برای پارامتر  $\beta$  نمایش داده شده‌اند. با توجه به جدول‌های (۵) و (۶) مشاهده می‌شود که تعداد طبقات در قاب‌های هم‌پریود اثر قابل توجهی در مقادیر  $\alpha$  نداشته است. به عبارت دیگر، مقادیر میانگین تخمین زده شده از پاسخ‌های دینامیکی محاسبه شده با استفاده از مجموعه مرجع

جدول (۵): مقادیر  $\alpha$  پارامترهای مختلف پاسخ در قاب ۶ طبقه نسبت به قاب ۳ طبقه دارای پریود یکسان ۰/۶ ثانیه.

پارامترهای پاسخ						شكل پذیری
MIDR	برش پایه	برش پایه	لنگر پایه	جابه‌جایی طبقات	جابه‌جایی نسبی طبقات	
۱/۰۷	۰/۹۹	۱/۰۰	۱/۰۰	۱/۰۰	۱/۰۲	۰/۹۶
۱/۰۳	۰/۹۹	۱/۰۰	۱/۰۰	۱/۰۰	۱/۰۴	۰/۹۶
۱/۰۹	۰/۹۹	۱/۰۰	۱/۰۰	۱/۰۱	۱/۰۵	۰/۹۹
۱/۱۱	۱/۰۰	۱/۰۰	۱/۰۰	۱/۰۳	۱/۰۶	۱/۰۱

جدول (۶): مقادیر  $\alpha$  پارامترهای مختلف پاسخ در قاب ۱۲ طبقه نسبت به قاب ۶ طبقه دارای پریود یکسان ۱/۲ ثانیه.

پارامترهای پاسخ						شكل پذیری
MIDR	برش پایه	برش پایه	لنگر پایه	جابه‌جایی طبقات	جابه‌جایی نسبی طبقات	
۰/۹۹	۰/۹۸	۰/۹۹	۰/۹۹	۰/۹۹	۰/۹۹	۱/۰۲
۱/۰۲	۱/۰۱	۱/۰۰	۱/۰۰	۱/۰۰	۱/۰۰	۱/۰۲
۱/۰۶	۱/۰۰	۱/۰۰	۱/۰۰	۱/۰۳	۱/۰۶	۱/۰۳
۰/۹۴	۰/۹۸	۰/۹۹	۱/۰۰	۱/۰۲	۱/۰۷	۱/۰۱

جدول (۷): مقادیر  $\beta$  پارامترهای مختلف پاسخ در قاب ۶ طبقه نسبت به قاب ۳ طبقه دارای پریود یکسان ۰/۶ ثانیه.

پارامترهای پاسخ						شكل پذیری
MIDR	برش پایه	برش پایه	لنگر پایه	جابه‌جایی طبقات	جابه‌جایی نسبی طبقات	
۱/۲۱	۱/۲۸	۱/۲۳	۱/۲۳	۱/۵۲	۱/۱۰	۰/۸۲
۱/۲۶	۰/۷۹	۰/۷۵	۰/۷۵	۰/۸۳	۰/۹۶	۰/۸۵
۱/۳۶	۰/۸۶	۱/۴۸	۱/۴۸	۱/۰۵	۱/۳۳	۱/۰۵
۱/۳۲	۰/۹۷	۱/۵۴	۱/۵۴	۱/۱۵	۱/۳۹	۱/۱۳

جدول (۸): مقادیر ۳ پارامترهای مختلف پاسخ در قاب ۱۲ طبقه نسبت به قاب ۶ طبقه دارای پریود یکسان ۱/۲ ثانیه.

پارامترهای پاسخ							شکل‌پذیری
MIDR	برش پایه	لنگر پایه	جابه‌جایی طبقات	جابه‌جایی نسبی طبقات	شتاب مطلق طبقات		
۰/۹۰	۱/۳۶	۱/۴۲	۱/۰۰	۰/۸۹	۱/۱۰	۱	
۰/۹۱	۰/۸۶	۰/۸۸	۰/۷۷	۰/۹۳	۱/۰۴	۲	
۰/۹۷	۱/۰۲	۱/۲۶	۱/۰۰	۱/۱۲	۱/۰۹	۴	
۰/۷۲	۰/۸۳	۱/۱۸	۰/۹۶	۰/۹۵	۱/۲۲	۶	

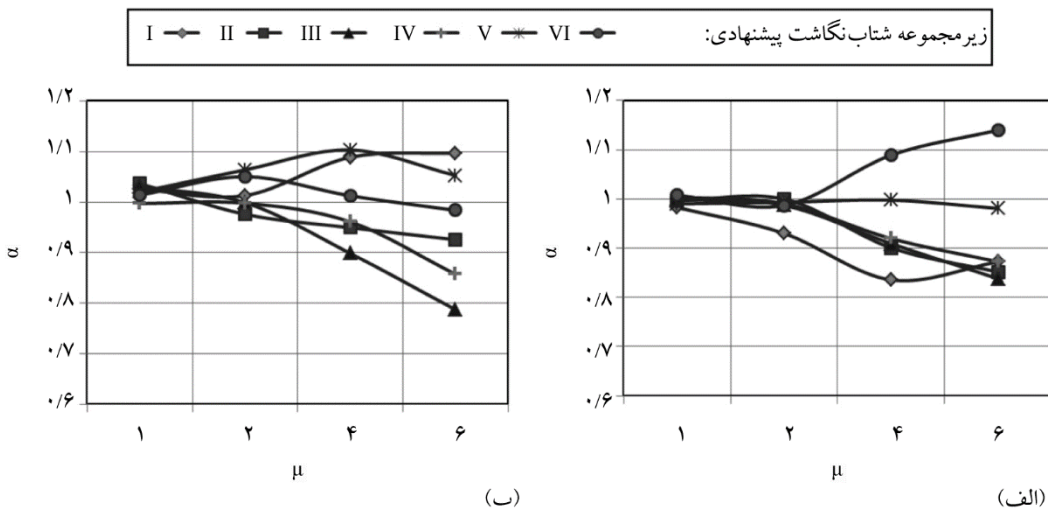
این مورد در سایر قاب‌ها نیز مشاهده شد. مطابق با نتایج به دست آمده از جدول (۱) زیرمجموعه شتاب نگاشت پیشنهادی در قاب‌های دارای شکل‌پذیری ۱ تخمین‌های نسبتاً دقیقی از جابه‌جایی طبقات ارائه داده‌اند. بررسی سایر زیرمجموعه‌ها نیز در مورد این پارامتر پاسخ نشان می‌دهد که در سطح شکل‌پذیری مذکور اغلب تخمین‌های ارائه شده توسط آنها دقیق بوده است. این موضوع به عنوان نمونه برای قاب‌های ۹ طبقه در شکل (۲۱) نمایش داده شده است. تفاوت در عملکرد زیرمجموعه شتاب نگاشت‌های مختلف با افزایش شکل‌پذیری در تخمین پارامتر پاسخ جابه‌جایی نسبی طبقات، صرفاً در قاب‌های ۳ و ۶ طبقه و در قاب‌های ۹، ۱۲ و ۱۵ طبقه دارای رفتار دینامیکی سخت مشاهده شد و در سایر قاب‌ها روند مشخصی از این اختلاف نسبت به شکل‌پذیری قاب‌ها به دست نیامده است. در مورد تخمین پارامتر پاسخ شتاب مطلق طبقات، اختلاف عملکرد زیرمجموعه شتاب نگاشت‌ها در سازه‌های مختلف متوجه بوده است به طوری که اختلاف عملکرد در برخی از سازه‌ها کمتر و در برخی بیشتر مشاهده شده است. این امر در شکل (۲۲) برای قاب‌های ۹ طبقه نمایش داده شده است.

با توجه به مشاهدات به دست آمده در این بخش می‌توان نتیجه گرفت استفاده از زیرمجموعه شتاب نگاشت‌های پیشنهاد شده نسبت به سایر زیرمجموعه‌های لزوماً منجر به تخمین‌های دقیق‌تر مخصوصاً در پارامترهای پاسخ دارای جنس جابه‌جایی و همچنین شتاب مطلق طبقات نشده است. اگرچه شواهد حاکی از آن است که اختلاف نسبی تخمین‌های به دست آمده از زیرمجموعه شتاب نگاشت‌های مختلف مورد استفاده در این مطالعه نسبت به مقدار دقیق محاسبه شده توسط مجموعه مرجع اکثراً قابل توجه نبوده‌اند.

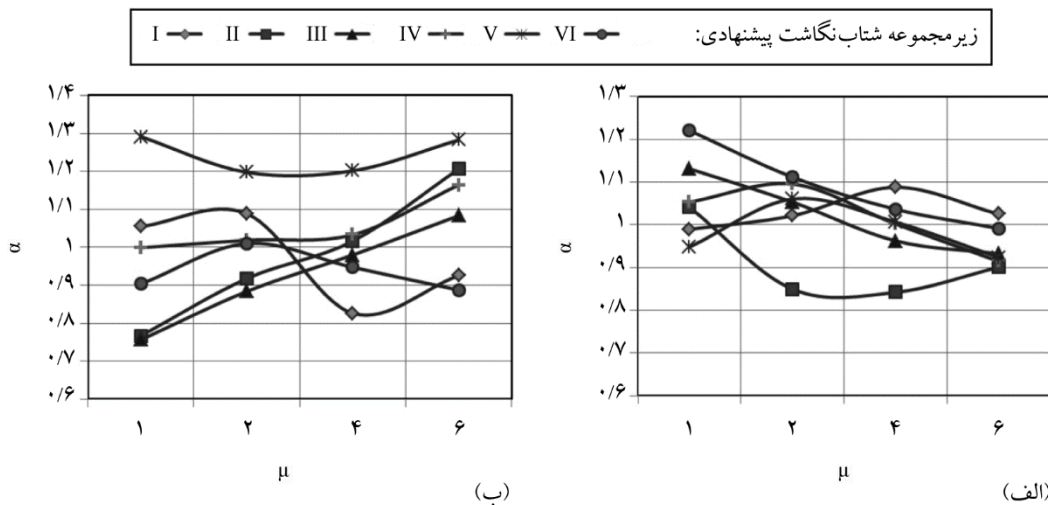
## ۷- مقایسه‌ی عملکرد نسبی تمامی زیرمجموعه

### شتاب نگاشت‌های محتمل در روش پیشنهادی

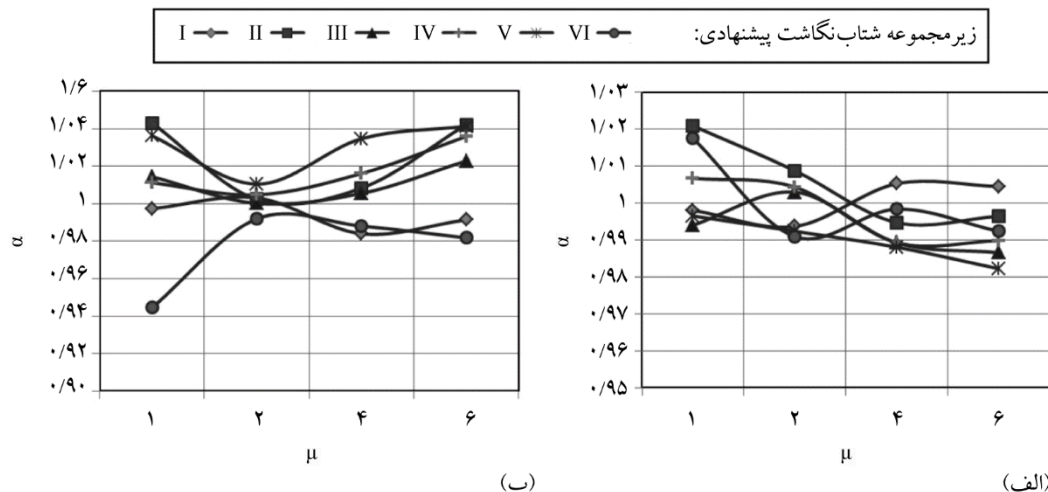
در جدول (پ-۱)، شش زیرمجموعه شتاب نگاشت جهت تحلیل گروه‌های مختلف سازه‌ای توسط روش انتخاب بهینه شتاب نگاشت‌ها پیشنهاد شده است. مقایسه‌ی عملکرد تمام این زیرمجموعه‌ها در تخمین پاسخ‌های دینامیکی قاب‌های مورد استفاده در این مطالعه، هدف بخش حاضر است. این بررسی به منظور مقایسه‌ی عملکرد نسبی زیرمجموعه شتاب نگاشت‌های پیشنهادی برای یک سازه مشخص نسبت به سایر زیرمجموعه‌ها صورت گرفته است. این مهم که تقلیل تعداد شتاب نگاشت‌ها برای انجام تحلیل دینامیکی تاریخچه زمانی نیازمند توجه ویژه به حفظ قابلیت اطمینان مقادیر پاسخ است، مورد توجه بسیاری از محققین قرار گرفته است [۱۸]. در شکل (۱۷)، مقادیر ۰ در تخمین پارامتر پاسخ MIDR توسط هر ۶ زیرمجموعه شتاب نگاشت جدول (پ-۱) برای قاب سه‌طبقه با رفتار دینامیکی سخت و نرم نمایش داده شده‌اند. این شکل نشان می‌دهد که در شکل‌پذیری ۱ (نزدیک ترین حالت به رفتار الاستیک کامل) عملکرد همه زیرمجموعه‌ها یکسان بوده است. بررسی‌های مشابه در سایر قاب‌ها نشان می‌دهد که این نتیجه گیری قابل بسط به قاب‌های دارای تعداد طبقات بالاتر از ۳ نیست. این موضوع در شکل (۱۸) برای قاب ۹ طبقه به تصویر کشیده شده است. بررسی‌ها در مورد پارامترهای پاسخ لنگر پایه و برش پایه که به ترتیب در شکل‌های (۱۹) و (۲۰) برای قاب ۹ طبقه نمایش داده شده‌اند، مشخص می‌سازد که اگرچه، زیرمجموعه شتاب نگاشت‌های پیشنهادی توانسته‌اند تخمین‌های نسبتاً دقیقی را ارائه دهند، سایر زیرمجموعه‌ها هم عملکرد قابل قبولی داشته‌اند.



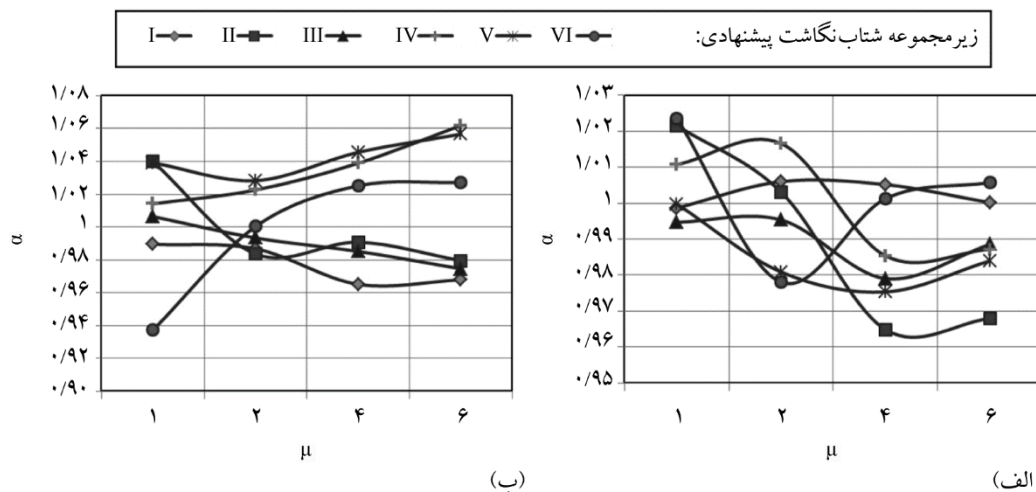
شکل (۱۷): مقادیر  $\alpha$  در تخمین MIDR توسط هر ۶ زیرمجموعه شتاب نگاشت در قاب ۳ طبقه دارای پریود (الف) ۰/۳ ۰/۶ ثانیه.



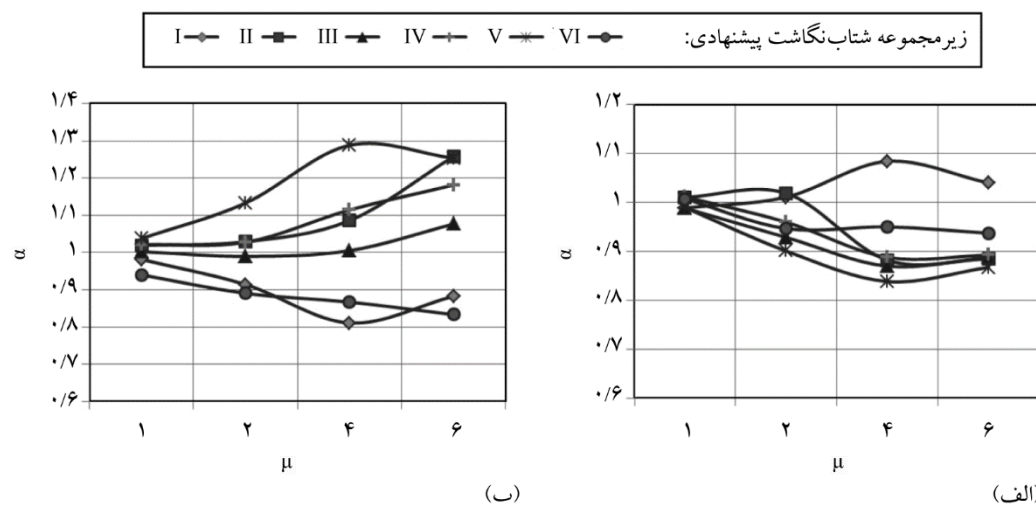
شکل (۱۸): مقادیر  $\alpha$  در تخمین MIDR توسط هر ۶ زیرمجموعه شتاب نگاشت در قاب ۹ طبقه دارای پریود (الف) ۰/۹ ۱/۸ ثانیه.



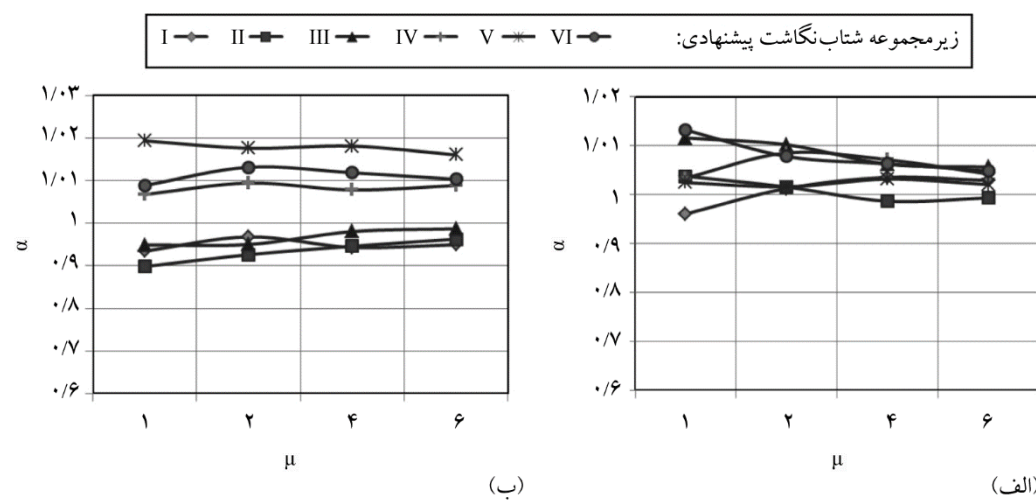
شکل (۱۹): مقادیر  $\alpha$  در تخمین لنگر پایه توسط هر ۶ زیرمجموعه شتاب نگاشت در قاب ۹ طبقه دارای پریود (الف) ۰/۹ ۱/۸ ثانیه.



شکل (۲۰): مقادیر  $\alpha$  در تخمین برش پایه توسط هر ۶ زیرمجموعه شتاب نگاشت در قاب ۹ طبقه دارای پریود (الف) ۰/۹ ثانیه (ب) ۱/۸ ثانیه.



شکل (۲۱): مقادیر  $\alpha$  در تخمین جابه جایی طبقات توسط هر ۶ زیرمجموعه شتاب نگاشت در قاب ۹ طبقه دارای پریود (الف) ۰/۹ ثانیه (ب) ۱/۸ ثانیه.



شکل (۲۲): مقادیر  $\alpha$  در تخمین شتاب مطلق طبقات توسط هر ۶ زیرمجموعه شتاب نگاشت در قاب ۹ طبقه دارای پریود (الف) ۰/۹ ثانیه (ب) ۱/۸ ثانیه.

دینامیکی قاب‌های فولادی ممکن باشد. در کاربرد نتایج ارزیابی‌های این پژوهش باید به این نکته توجه داشت که تمام قاب‌های مورد مطالعه از دیدگاه رفتار دینامیکی تحت غلبه مود نخست خود بوده‌اند، بنابراین اثر مشارکت مودهای بالاتر که به‌نوبه خود می‌تواند ناشی از افزایش پیچیدگی در ساختار سازه‌ها باشد [۱۹]، در کارایی روش انتخاب بهینه شتاب‌نگاشت‌ها نیازمند بررسی‌های تخصصی و جامع‌تر است. با این وجود با توجه به اینکه زیرمجموعه شتاب‌نگاشت‌های پیشنهادی دارای بهترین عملکرد نسبت به سایر زیرمجموعه‌ها نبوده‌اند پژوهش در زمینه ارائه روشی نوین بر پایه ایده انتخاب بهینه شتاب‌نگاشت‌ها بر اساس گروه‌بندی سازه‌ها که توانایی در نظر گرفتن صریح مشخصات مؤثر سازه‌ای از جمله شکل‌پذیری را داشته باشد، پیشنهاد می‌شود.

#### مراجع

1. Ghafory-Ashtiani, M., Azarbakht, A., and Mousavi, M. (2012) State of the art: Structure-specific strong ground motion selection by emphasizing on spectral shape indicators. *15<sup>th</sup> World Conference on Earthquake Engineering*, Lisbon, Portugal, 24-28.
2. Naeim, F., Alimoradi, A., and Pezeshk, S. (2004) Selection and scaling of ground motion time histories for structural design using genetic algorithms. *Earthquake Spectra*, **20**(2), 413-426.
3. Iervolino, I. and Cornell, C.A. (2005) Record selection for nonlinear seismic analysis of structures. *Earthquake Spectra*, **21**(3), 685-713.
4. Baker, J.W. (2010) Conditional mean spectrum: Tool for ground-motion selection. *Journal of Structural Engineering*, **137**(3), 322-331.
5. Baker, J.W. and Allin Cornell, C. (2006) Spectral shape, epsilon and record selection. *Earthquake Engineering and Structural Dynamics*, **35**(9), 1077-1095.
6. Naeim, F. and Lew, M. (1995) On the use of design spectrum compatible time histories. *Earthquake*

#### ۸- نتیجه‌گیری

در این مطالعه، امکان استفاده از روش انتخاب بهینه شتاب‌نگاشت‌ها مبتنی بر IDA که توسط غفوری آشتیانی و همکاران [۸] ارائه شده است، برای تخمین پاسخ دینامیکی تنوعی از قاب‌های خمی فولادی مورد سنجش قرار گرفت. نتایج این بررسی‌ها نشان داد که استفاده از زیرمجموعه شتاب‌نگاشت‌های پیشنهاد شده در تخمین پارامترهای پاسخ لنگر و برش پایه می‌تواند تخمین‌های نسبتاً دقیقی را ارائه دهد. البته استفاده از سایر زیرمجموعه‌ها در تخمین این دو پارامتر پاسخ نیز عملکرد نسبی مشابهی را نشان داده‌اند. این مورد را می‌توان به مقدار کم پراکندگی تخمین‌های محاسبه شده از این دو پارامتر پاسخ توسط شتاب‌نگاشت‌های مجموعه مرجع مقیاس شده به  $Sa(T_1)$  هدف نسبت داد. استفاده از زیرمجموعه شتاب‌نگاشت‌های پیشنهادی در تخمین پاسخ‌ها از جنس جایه‌جایی نشان می‌دهد که در قاب‌های دارای شکل‌پذیری بیشتر عموم تخمین‌ها دست پایین بوده‌اند. این مورد به خصوص در تخمین پارامتر پاسخ جایه‌جایی طبقات به وضوح مشاهده می‌شود، به‌طوری‌که در قاب‌های دارای شکل‌پذیری ۱ تخمین‌های نسبتاً دقیقی از این پارامتر پاسخ به دست می‌آید. با این وجود، استفاده از سایر زیرمجموعه‌ها در تخمین این پارامتر پاسخ برای قاب‌های دارای شکل‌پذیری ۱ مزیت نسبی مشابهی را نشان داده‌اند. استفاده از این زیرمجموعه‌های پیشنهادی لزوماً باعث کاهش پراکندگی پاسخ‌ها نسبت به حالتی که از مجموعه شتاب‌نگاشت‌های مرجع استفاده می‌شود نشده و در تعداد قابل توجهی از قاب‌ها منجر به افزایش پراکندگی در تخمین‌ها نیز شده است.

با توجه به مشاهدات صورت گرفته، در تعیین محدوده استفاده از این روش جهت تخمین پارامترهای پاسخ سازه‌ای در سطوح عملکردی متفاوت با آستانه فروریزش، نیاز به احتیاط بیشتری وجود دارد، اگرچه به نظر می‌رسد که با تخفیف در دقت مورد انتظار، استفاده از این روش در تخمین پاسخ‌های

- University.
16. Elnashai, A.S. and Di Sarno, L. (2008) *Fundamentals of Earthquake Engineering*. New York: Wiley, p. 145.
  17. Kayhani, H., Azarbakht, A., and Ghafory-Ashtiany, M. (2013) Estimating the annual probability of failure using improved progressive incremental dynamic analysis of structural systems. *The Structural Design of Tall and Special Buildings*, **22**(17), 1279-1295.
  18. Reyes, J.C. and Kalkan, E. (2012) How many records should be used in an ASCE/SEI-7 groundmotion scaling procedure? *Earthquake Spectra*, **28**(3), 1223-1242.
  19. Moghaddam, S.A. and Ghafory-Ashtiany, M. (2015) Evaluation of a recently proposed ground motion selection method in case of vertically irregular frames. *Journal of Seismology and Earthquake Engineering*, **17**(3), 165.
  20. Baker, J.W. and Allin Cornell, C. (2005) A vector-valued ground motion intensity measure consisting of spectral acceleration and epsilon. *Earthquake Engineering and Structural Dynamics*, **34**(10), 1193-1217.
  21. Ghafory-Ashtiany, M., Mousavi, M., and Azarbakht, A. (2011) Strong ground motion record selection for the reliable prediction of the mean seismic collapse capacity of a structure group. *Earthquake Engineering and Structural Dynamics*, **40**(6), 691-708.
  22. Road, Housing and Urban Development Research Center (2014) *Iran's Seismic Provisions for Design of Buildings (2800 Standard)* [in Persian].
  23. Ibarra, L.F. and Krawinkler, H. (2005) *Global Collapse of Frame Structures under Seismic Excitations*. Pacific Earthquake Engineering Research Center.
  24. Medina, R.A. and Krawinkler, H. (2004) *Seismic Demands for Nondeteriorating Frame Structures and Their Dependence on Ground Motions*. Doctoral Dissertation, Pacific Earthquake Engineering Research Center.
  25. Chintanapakdee, C. and Chopra, A.K. (2003) *Evaluation of the Modal Pushover Analysis Procedure Using Vertically "Regular" and Irregular Generic Frames*. Earthquake Engineering Research Center, College of Engineering, University of California.
  26. Molavi, M. (2016) *Evaluation of Ground Motion Selection and Scaling Methods Using Structural Response Parameters*. M.Sc. Thesis, International Institute of Seismology and Earthquake Engineering (IIEES) (in Persian).
  27. FEMA (2009) *Quantification of Building Seismic Performance Factors*. Federal Emergency Management Agency
  28. Haselton, C.B. (2006) *Assessing Seismic Collapse Safety of Modern Reinforced Concrete Moment Frame Buildings*. Doctoral Dissertation, Stanford

### پیوست

جدول پ-۱: زیرمجموعه شتاب نگاشت های پیشنهادی روش غفوری آشتیانی و همکاران [۸].

شماره شتاب نگاشت	محدوده پریودی	زیر مجموعه شتاب نگاشت های پیشنهادی
۲-۷-۲۷-۳۴-۳۷-۴۱-۴۲-۴۴	۰/۱-۰/۳	I
۲-۳-۷-۱۲-۱۹-۲۳-۳۰-۳۶	۰/۳-۰/۵	II
۳-۱۲-۱۳-۱۷-۱۹-۲۳-۲۵-۲۹	۰/۵-۰/۷	II
۳-۱۱-۱۲-۱۵-۲۲-۲۹-۳۷-۳۸	۰/۷-۰/۹	IV
۳-۱۱-۱۲-۱۷-۱۸-۳۴-۳۵-۳۹	۰/۹-۱/۲۵	V
۵-۱۲-۱۷-۲۱-۲۴-۲۶-۴۲-۴۳	۱/۲۵-۲/۰	VI

جدول (پ-۲): لیست شتاب نگاشت‌های موجود در مجموعه مرجع مورد استفاده در این مطالعه.

ردیف	رخداد	ایستگاه ثبت شتاب نگاشت
۱	MANJIL 1990	MANJIL, IRAN LONGITUDINAL COMP
۲		MANJIL, IRAN TRANSVERSE COMP
۳	KOCAELI 1999	ARCELIK, 000
۴		ARCELIK, 090
۵	FRIULI, ITALY 1976	TOLMEZZO, 000
۶		TOLMEZZO, 270
۷	SUPERSTITION HILLS 1987	EL CENTRO IMP CO CENTER, 000
۸		EL CENTRO IMP CO CENTER, 090
۹	DUZCE 1999	BOLU, 000
۱۰		BOLU, 090
۱۱	SUPERSTITION HILLS 1987	POE, 270
۱۲		POE, 360
۱۳	LOMA PRIETA 1989	CAPITOLA, 000
۱۴		CAPITOLA, 090
۱۵	CHI-CHI 1999	CHY101, E
۱۶		CHY101, N
۱۷	LANDERS 1992	COOLWATER, LN
۱۸		COOLWATER, TR
۱۹	KOCAELI 1999	DUZCE, 180
۲۰		DUZCE, 270
۲۱	LOMA PRIETA 1989	GILROY ARRAY #3, 000
۲۲		GILROY ARRAY #3, 090
۲۳	IMPERIAL VALLEY 1979	DELTA, 262
۲۴		DELTA, 352
۲۵		EL CENTRO ARRAY #11, 140
۲۶		EL CENTRO ARRAY #11, 230
۲۷	HECTOR MINE 1999	HEC, 000
۲۸		HEC, 090
۲۹	NORTHRIDGE 1994	CANYON COUNTRY - W LOST CANYON,000
۳۰		CANYON COUNTRY - W LOST CANYON, 270
۳۱		BEVERLY HILLS - 14145 MULH, 009
۳۲		BEVERLY HILLS - 14145 MULH, 279
۳۳	KOBE 1995	NISHI-AKASHI, 000
۳۴		NISHI-AKASHI, 090
۳۵	SAN FERNANDO 1971	LA HOLLYWOOD STOR LOT, 090
۳۶		LA HOLLYWOOD STOR LOT, 180
۳۷	CAPE MENDOCINO 1992	RIO DELL OVERPASS FF, 270
۳۸		RIO DELL OVERPASS FF, 360
۳۹	KOBE 1995	SHIN-OOSAKA, 000
۴۰		SHIN-OOSAKA, 090
۴۱	CHI-CHI 1999	TCU045, E
۴۲		TCU045, N
۴۳	LANDERS 1992	YERMO FIRE STATION, 270
۴۴		YERMO FIRE STATION, 360

## Evaluation of the Ground Motion Record Selection Method for Structure Groups in case of Generic Steel Moment-Resisting Frames

Milad Molavi<sup>1</sup>, Mohsen Ghafory-Ashtiany<sup>2\*</sup>, Salar Arian-Moghaddam<sup>3</sup>

1. M.Sc. in Earthquake Engineering, IIEES, Tehran, Member of Iranian Earthquake Engineering Association Iran

2. Professor, IIEES, Tehran, President of Iranian Earthquake Engineering Association Iran,

\*Corresponding Author, email: ashtiany@iiees.ac.ir

3. Ph.D. Student, IIEES, Tehran, Member of Iranian Earthquake Engineering Association Iran

Considering the fact that the computational cost of Nonlinear Time History Analysis (NLTHA) has been reduced significantly, specially, during last decade, this type of analysis has been promoted among civil engineering society. On the other hand, basic shift from conventional design approach to the performance-based method highlights the essential need for the estimation of different engineering demand parameters (EDPs) with as highest reliability as possible. Focusing on the selected set of strong ground motions (SGMs) as an important source of uncertainty on the results, there are a variety of studies in the earthquake engineering literature the purpose of which is to introduce a standard scheme for efficient selection and preparation of appropriate SGMS as the input of NLTHA. A part of existing differences, most of the methods suffer from a common limitation that is the application of simplifying assumptions in their contextual framework that may not always be correct. For example, there are several structure-specific scaling and selection methods using an equal SDOF as the representative of the target structure that must be analyzed. Although the use of such simplifications is unavoidable, their effect on the reliability of the results estimated by performing NLTHA under proposed set of SGMS by the method must be evaluated.

In this paper, a recently proposed structure specific record selection method is investigated in terms of its ability to keep the efficiency in case of structures that may challenge the assumption of reducing a MDOF nonlinear system to an equal SDOF. The investigated method have proposed an a priori set of SGMRs selected from a commonly used general set, which is introduced for collapse assessment. The method first utilizes the statistical exploration of a collapse capacity database that is constructed by analyzing numerous SDOF systems each of which represents specific combination of structural features such as ductility and period. Then, by defining a quantitative similarity measure, the whole database is refined to find the optimum subset representing the general set fairly good for any predetermined structural characteristics.

For a comprehensive study, a group of 2-D one-bay vertically regular frames of five different heights (i.e. 3, 6, 9, 12, and 15 stories) has been used in this study. The height-wise distribution of stiffness was tuned to achieve equal drifts in all stories that are calculated using the Iranian code of practice for seismic resistant design of buildings forces (Standard 2800). The yield strength distribution was chosen such that the yielding is observed almost simultaneously at all plastic hinges under the lateral force distribution, which is determined by Standard 2800. To cover a variety of ductility values, nonlinear response spectra with constant ductility equal to 1, 2, 4, and 6 have been utilized as the design spectra. Thus, eight different designs (two values of T1 and four values of  $\mu$ ) are considered for each fixed height, leading to a total of 40 frames. A set of 22 pairs of horizontal SGMRs selected from a specific far-field set, which was used in the FEMA P. 695 as the suggested SGMS for NLTHA.

The most important results that can be concluded from the comprehensive evaluation of the mentioned selection

method can be listed as;

- The proposed selected subsets, in most cases underestimate seismic demands of regular frames compared to the estimations by using the reference set of 44 SGMs. This can be attributed to the fact that many of steel frames do not experience severe levels of nonlinearity or side-sway collapse.
- The application of the proposed subsets by the selection method does not necessarily result in the reduction of the statistical dispersion in the estimated EDPs.
- Comparing the estimated EDPs by the proposed subset with those of other potential subsets, almost in all cases there is no significant superiority of the selection method in terms of accuracy and reliability. This can be interpreted by noting to the fact that the goal of selection method is the reliable collapse simulation of the structures and it cannot easily be generalized to the other performance levels.

The results confirm that the ductility plays an important role in the SGMs selection output. Therefore, it is suggested that the provision of a new selection process involving ductility of target structure is investigated as a future complementation of the current method.

**Keywords:** Nonlinear Time History Analysis, Record Selection and Scaling, Structure Group, IDA.